

КАМБУЛОВ В. Ф.

ДВУХЧАСТОТНЫЕ АВТОКОЛЕБАНИЯ В RC-ГЕНЕРАТОРЕ С РАСПРЕДЕЛЕННЫМИ ПАРАМЕТРАМИ ПРИ АСИММЕТРИЧНОЙ НЕЛИНЕЙНОЙ ХАРАКТЕРИСТИКЕ

Рассмотрен автогенератор, в цепи обратной связи которого каскадно-соединенные RC-структуры: фильтр нижних частот и режекторный фильтр. Показано, что при симметричной нелинейной характеристике усилителя в генераторе реализуются только одночастотные автоколебания. Однако при асимметрии характеристики могут возникать устойчивые двухчастотные автоколебания.

В [1—3] отмечается, что в генераторах с RC-структурами в цепи обратной связи реализуются одночастотные автоколебания. Поэтому представляет определенный теоретический и практический интерес рассмотрение RC-автогенераторов, в которых возникают многочастотные автоколебательные режимы.

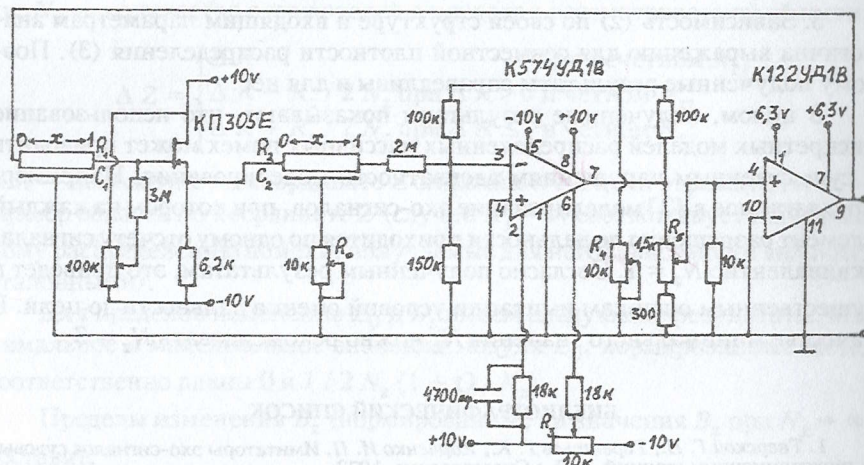


Рис. 1

Рассмотрим схему RC-автогенератора (рис. 1), математической моделью которого в случае идеального усилителя является:

$$u_\tau = A u, \quad (1)$$

$$u_x|_{x=1} = 0, \quad u_1|_{x=1} - u_2|_{x=0} + \alpha u_x|_{x=0} = 0, \quad (2)$$

$$u_1|_{x=0} + k_0 \sigma + k_1 \sigma^2 - k_2 \sigma^3 = 0. \quad (3)$$

Здесь u_1, u_2 — переменные составляющие напряжений в фильтрах; $x, \tau = t / (l_1^2 R_1 C_1)$ — нормированные координата и время; $\alpha = R_0 / R_2$ — положительный параметр; k_0, k_1, k_2 — коэффициенты аппроксимации нелинейной характеристики усилителя; $\sigma = u_2|_{x=1} - \alpha u_{2x}|_{x=0}$ — напряжение на входе усилителя;

$$A = \begin{bmatrix} \frac{\partial^2}{\partial x^2} & 0 \\ 0 & \frac{1}{a} \frac{\partial^2}{\partial x^2} \end{bmatrix}, \quad a = (l_2^2 R_2 C_2) / (l_1^2 R_1 C_1).$$

Рассмотрим линеаризованную краевую задачу (1)—(3), из которой определим условия самовозбуждения автогенератора. В дальнейшем удобно проводить анализ в плоскости k_0, α , фиксируя a . Например, при $a = 7,977$ (что соответствует значению параметра a в эксперименте) график зависимости k_0 от α имеет вид, изображенный на рис. 2. При этом точке В соответствуют две частоты самовозбуждения $\omega_1 = 1,406$ и $\omega_2 = 26,13$, причем $\omega_2 / \omega_1 = 18,585$. Учитывая последние данные, приходим к выводу, что в рассматриваемой задаче отсутствуют младшие резонансы $(1; 2, 1; \frac{1}{2}, 1; 3, 1; \frac{1}{3})$.

Рассмотрим подробнее рис. 2. Как показал анализ, в плоскости k_0, α можно выделить характерные области I, II, III, IV. Область I соответствует устойчивому нулевому состоянию равновесия. При переходе из I в области II, III, IV теряется устойчивость колебательным образом, причем, в областях II, III самовозбуждаются одночастотные автоколебания, а в IV — двухчастотные. Дальнейшее рассмотрение краевой задачи (1)—(3) будем проводить для значений параметров k_0, α из области IV в окрестности точки В (α_0, k_m) .

Пусть

$$k_0 = k_m + \varepsilon_1, \quad \alpha = \alpha_0 + \varepsilon_2,$$

где $\varepsilon_1, \varepsilon_2$ — малые параметры, причем $\varepsilon_1 > 0$. Будем приближенно искать решение краевой задачи (1)—(3) в виде

$$u(x, \tau_1, \tau_2) = \sum_{k=1}^2 \xi_k E_{k1}(x, \tau_k) + \sum_{k,j=1}^2 W_{kj}(x, \tau_1, \tau_2) \xi_k \xi_j + \\ + \sum_{k,j=1}^2 W_{kj}(x, \tau_1, \tau_2) \xi_k \varepsilon_j + \sum_{k,j,p=1}^2 W_{kjp}(x, \tau_1, \tau_2) \xi_k \xi_j \xi_p, \quad (4)$$

где E_{k1} — решения линеаризованной задачи (1) — (3), отвечающие частотам ω_k ; W_{kj} ; W_{kj} ; W_{kjp} — векторные тригонометрические многочлены век-

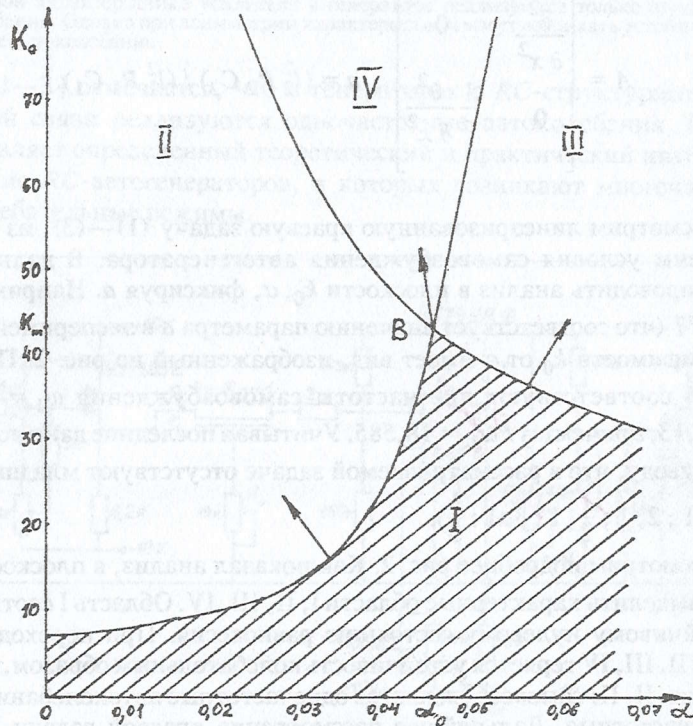


Рис. 2

торного переменного $\omega \tau = (\omega_1 \tau_1, \omega_2 \tau_2)$, подлежащие определению; ξ_k, τ_k находятся из системы укороченных уравнений вида:

$$\frac{d\xi_k}{d\tau} = \xi_k \left(\sum_{j=1}^2 \gamma_{kj} \varepsilon_j + \sum_{j=1}^2 \varphi_{kj} \xi_j^2 \right), \quad (5)$$

$$\frac{d\tau_k}{d\tau} = 1 + \frac{1}{\omega_k} \sum_{j=1}^2 \omega_{kj} \varepsilon_j + \sum_{j=1}^2 c_{kj} \xi_j^2. \quad (6)$$

Опишем кратко алгоритм нахождения коэффициентов в системе (5), (6). Составив формальное равенство

$$\sum_{k=1}^2 \frac{\partial u}{\partial \tau_k} \frac{d\tau_k}{d\tau} = A u - \sum_{k=1}^2 \frac{\partial u}{\partial \xi_k} \frac{d\xi_k}{d\tau}, \quad (7)$$

подставим в краевую задачу (7), (2), (3) выражение (4) с учетом (5), (6) и приравняем в получившихся равенствах слева и справа коэффициенты при степенях ξ_1^3, \dots, ξ_2^3 . Далее, применяя к полученным таким образом краевым задачам условия разрешимости их в классе тригонометрических многочленов, определяем $\gamma_{kj}, \omega_{kj}, \varphi_{kj}, c_{kj}$. Отметим, что для значений параметров автогенератора, отвечающих точке B (рис. 2),

$$\gamma_{11} = 0,0016, \gamma_{12} = -7,425, \gamma_{21} = 0,199, \gamma_{22} = 138,65,$$

$$\omega_{11} = 0,002, \omega_{12} = -9,761, \omega_{21} = 0,156, \omega_{22} = 50,598,$$

$$\varphi_{11} = -3,132 \cdot 10^{-5} \cdot k_2 - 1,472 \cdot 10^{-6} \cdot k_1^2,$$

$$\varphi_{22} = -1,263 \cdot 10^7 \cdot k_2 - 3,605 \cdot 10^5 \cdot k_1^2,$$

$$\varphi_{12} = -2,021 \cdot 10^5 \cdot k_2 + 3,509 \cdot 10^4 \cdot k_1^2,$$

$$\varphi_{21} = -7,826 \cdot 10^{-3} \cdot k_2 - 5,889 \cdot 10^{-4} \cdot k_1^2,$$

$$c_{11} = -2,723 \cdot 10^{-5} \cdot k_2 - 1,902 \cdot 10^{-6} \cdot k_1^2,$$

$$c_{22} = -3,778 \cdot 10^5 \cdot k_2 - 3,626 \cdot 10^5 \cdot k_1^2,$$

$$c_{12} = -1,757 \cdot 10^5 \cdot k_2 - 2,137 \cdot 10^6 \cdot k_1^2,$$

$$c_{21} = -2,343 \cdot 10^{-4} \cdot k_2 - 1,892 \cdot 10^{-4} \cdot k_1^2.$$

Для установившихся колебательных режимов правые части равенств (5), (6) соответственно равны

$$\xi_k \left(\sum_{j=1}^2 \gamma_{kj} \varepsilon_j + \sum_{j=1}^2 \varphi_{kj} \xi_j^2 \right) = 0, \quad (8)$$

$$1 + \frac{1}{\omega_k} \sum_{j=1}^2 \omega_{kj} \varepsilon_j + \sum_{j=1}^2 c_{kj} \xi_j^2 = c_k,$$

где c_k — некоторые константы. Рассмотрим систему уравнений (8). Здесь могут представиться три возможности:

- 1) $\xi_1 \neq 0, \xi_2 = 0$;
- 2) $\xi_1 = 0, \xi_2 \neq 0$;
- 3) $\xi_1 \neq 0, \xi_2 \neq 0$.

Простой численный анализ показывает, что при определенных $\varepsilon_1, \varepsilon_2$ возможна одновременная реализация этих трех случаев. При этом в первых двух

$$\begin{aligned} \xi_1 &= \left[- \left(\sum_{j=1}^2 \gamma_{1j} \varepsilon_j \right) / \varphi_{11} \right]^{1/2}, \quad \xi_2 = 0, \\ \xi_1 &= 0, \quad \xi_2 = \left[- \left(\sum_{j=1}^2 \gamma_{2j} \varepsilon_j \right) / \varphi_{22} \right]^{1/2}, \end{aligned} \quad (9)$$

а в третьем случае

$$\xi_1 = (\Delta_1 / \Delta)^{1/2}, \quad \xi_2 = (\Delta_2 / \Delta)^{1/2}, \quad (10)$$

где

$$\begin{aligned} \Delta &= \varphi_{11} \varphi_{22} - \varphi_{12} \varphi_{21}, \quad \Delta_1 = \varphi_{12} \sum_{j=1}^2 \gamma_{2j} \varepsilon_j - \varphi_{22} \sum_{j=1}^2 \gamma_{1j} \varepsilon_j, \\ \Delta_2 &= \varphi_{21} \sum_{j=1}^2 \gamma_{1j} \varepsilon_j - \varphi_{11} \sum_{j=1}^2 \gamma_{2j} \varepsilon_j. \end{aligned}$$

Отметим, что состояниям равновесия (9), (10) системы уравнений (5) соответствуют периодические (одночастотные) или двоякопериодические (двухчастотные) решения исходной краевой задачи (1) — (3), причем их устойчивость связана с устойчивостью рассматриваемых состояний равновесия.

Анализ показывает, что при симметричной нелинейной характеристике ($k_1 = 0$) двухчастотный режим неустойчив и в зависимости от начальных условий реализуется одночастотный режим на частоте ω_1 или ω_2 . Однако в случае несимметричной характеристики ($k_1 \neq 0$) может реализоваться двухчастотный режим автоколебаний. На рис. 3 представлены области I, II значений коэффициентов k_1, k_2 , при которых

реализуются соответственно неустойчивые и устойчивые двухчастотные автоколебания, при соответствующем выборе параметров ε_j .

Для проверки теоретических результатов был собран экспериментальный макет RC-генератора, схема которого приведена на рис. 1. Функции усилителя выполняли две интегральные схемы, имевшие регулировку баланса, что позволяло устанавливать рабочую точку в центре симметрии нелинейной характеристики. Резистором R_3 рабочая точка в режиме генерации выводилась на один из склонов нелинейной характеристики, что приводило к несимметрии относительно исходной точки. Общая динамическая характеристика усилителей с погрешностью не более 10% аппроксимировалась полиномом третьей степени, причём

$$k_2 = 100, k_1 \in [-50; 50].$$

В схеме автогенератора RC-структуры моделировались RC-цепочками, которые содержали соответственно 15 и 17 RC-звеньев с суммарными сопротивлениями и емкостями

$$R_1 = 33 \text{ к}, R_2 = 115,6 \text{ к}, C_1 = 11250 \text{ пФ}, C_2 = 25500 \text{ пФ}.$$

Для наблюдения и определения параметров резистором R_3 добивались реализации симметричной нелинейной характеристики усилителя,

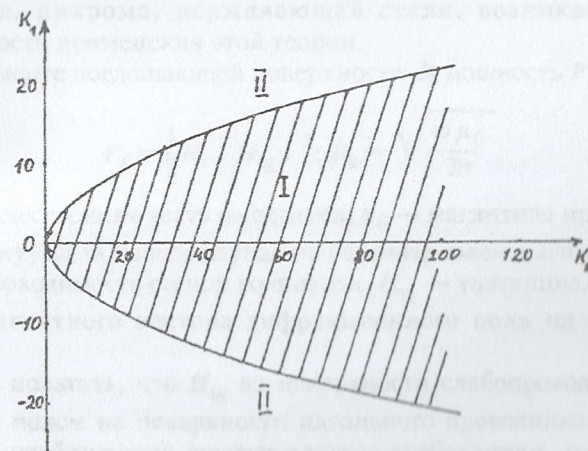


Рис. 3

а резисторами R_0, R_4, R_5 устанавливались такие α и коэффициент усиления k_0 , что в схеме могли возникать автоколебания, близкие к гармоническим на частоте $f_1 = 500$ Гц или на частоте $f_2 = 8280$ Гц. Затем

резистором R_3 для случая высокочастотных автоколебаний ($f_2 = 8280$ Гц) проводилось перемещение рабочей точки из центра характеристики на нижний или верхний ее склоны. Это приводило к возникновению двухчастотных автоколебаний.

БИБЛИОГРАФИЧЕСКИЙ СПИСОК

1. Непринцев В. И., Камбулов В. Ф. Нелинейные искажения в автогенераторе с распределенной RC-структурой в цепи обратной связи // Радиотехника и электроника. — 1975. — Т. 20. — № 5. — С. 982—993.
2. Дворников А. А. К теории RC-генераторов // Радиотехника и электроника. — 1978. — Т. 23. — № 5. — С. 1006—1014.
3. Колесов Ю. С., Колесов В. С., Федик И. И. Автоколебания в системах с распределенными параметрами. — Киев: Наукова думка, 1979. — 162 с.

Ярославский госуниверситет г. Ярославль.

Поступила в редакцию 04.06.96.

КРАТКИЕ НАУЧНЫЕ СООБЩЕНИЯ

УДК 621.396.679

ВОЛКОВ В. М.

ПРИМЕНИМОСТЬ ТЕОРИИ СИЛЬНОГО СКИН-ЭФФЕКТА ПРИ ВЫЧИСЛЕНИИ ПОТЕРЬ В СЛАБОПРОВОДЯЩИХ СТЕНКАХ ВОЛНОВОДОВ

Для хорошо проводящих стенок волноводов потери можно вычислять, используя теорию сильного скин-эффекта [1]. При использовании слабопроводящих стенок в качестве датчиков проходящей мощности, например, на основе поглощающей стенки [2], выполненной из константана, никеля, нихрома, нержавеющей стали, возникает вопрос о справедливости применения этой теории.

На элементе поглощающей поверхности ds мощность P_s :

$$P_s = \frac{1}{2} R_s |H_{tg}|^2; R_s = \sqrt{\frac{\omega \mu_0}{2\sigma}}, \quad (1)$$

где R_s — вещественная часть импеданса, μ_0 — магнитная проницаемость стенок и вакуума (в нашем случае не рассматриваем магнитные эффекты), σ — проводимость стенок волновода, H_{tg} — тангенциальная составляющая магнитного вектора дифракционного поля на поверхности стенки.

Можно полагать, что H_{tg} на поверхности слабопроводящей стенки совпадает с полем на поверхности идеального проводника. Справедливость этого приближения подтверждается требованием, чтобы элемент датчика (поглощающей стенки) имел пренебрежимо малый собственный коэффициент отражения в широкой полосе частот ($K_{стн} \leq 1,01$).

Степень малости коэффициента отражения датчика с погрешностью до квадратичных членов можно оценить по разности постоянных распространения электромагнитных волн в волноводах с различными значениями потерь в стенках. Искомое значение коэффициента отражения: